



Estimation of Urmia Lake Evaporation Using Remote Sensing Data

S. Sima^{1*} and M. Tajrishi²

Abstract

Evaporation which is the most important water output from terminal lakes, plays a significant role in the lakes water balance. It can also vary chemical compositions of lakes. This study aims at providing an accurate estimate of the evaporation rate from Urmia Lake. To accomplish this task, the SDDE (Salinity Dependent Daily Evaporation) model was developed based on the energy balance model and conjunctive use of the MODIS satellite data including water surface temperature, albedo, emissivity, cloud mask and precipitable water vapour and GIS techniques. The model was validated using insitu data. Then, evaporation maps of Urmia Lake were calculated using the SDDE model during 2010. Results showed that the rate and volume of evaporation during the non-cloudy months (April-Novemebr) were 1136 mm and 3.8 km³, respectively. Consequently, even if the environmental water requirement of the lake is supplied, the declining trend of its water level will continue.

برآورد تبخیر از سطح دریاچه ارومیه با استفاده از تصاویر ماهواره‌ای سنجنده MODIS

سمیه سیما^{۱*} و مسعود تجریشی^۲

چکیده

تبخیر به عنوان مهمترین عامل خروج آب از دریاچه‌های بسته، سهم بهسزایی در معادلات بیلان آب دریاچه‌ها ایفا می‌کند و می‌تواند منجر به تغییر در ترکیب شیمیایی دریاچه‌ها شود. هدف از این مطالعه ارائه الگویی برای برآورد صحیح نرخ تبخیر از سطح آب دریاچه ارومیه با استفاده از فن‌آوری سنجش از دور می‌باشد. بدین منظور مدل روزانه تبخیر با لحاظ کردن اثر شوری (SDDE)^۱ بر مبنای معادله بیلان انرژی و با استفاده تلفیقی از داده‌های سنجش از دور سنجنده MODIS (شامل دمای سطح، آلbedo، گسیلمندی، ماسک ابر، آب قابل بارش) و سیستم اطلاعات جغرافیایی (GIS)^۲ توسعه داده شده و با اندازه‌گیری‌های زمینی اعتبارسنجی شد. با اجرای این مدل نقشه‌های تبخیر از سطح دریاچه برای سال ۲۰۱۰ میلادی به دست آمد. بر اساس نتایج حاصل مجموع ارتفاع و حجم تبخیر طی ۷ ماه اوریل تا اکتبر در سال ۲۰۱۰ (۱۳۸۹-۹۰) به ترتیب معادل ۱۱۳۶ میلیمتر و ۳/۸ میلیارد مترمکعب می‌باشد. این برآورد نشان می‌دهد که حتی در صورت تأمین نیاز آبی دریاچه در شرایط نرمال معادل ۳/۱ میلیارد متر مکعب، روند کاهشی تراز دریاچه تداوم خواهد داشت.

Keywords: Urmia Lake, Evaporation, Salinity, Remote Sensing, Spatial distribution.

Received: April 19, 2014

Accepted: August 27, 2014

کلمات کلیدی: دریاچه ارومیه، تبخیر، سنجش از دور، توزیع مکانی.

تاریخ دریافت مقاله: ۳۰ فروردین ۱۳۹۳

تاریخ پذیرش مقاله: ۵ شهریور ۱۳۹۳

۱- Assistant Professor ,Civil & Environmental Engineering Department , Tarbiat Modares University

۲- Professor ,Civil Engineering Department ,Sharif University of Technology.

*- Corresponding Author

۱- استادیار دانشکده مهندسی عمران و محیط زیست دانشگاه تربیت مدرس

۲- استاد دانشکده مهندسی عمران، دانشگاه صنعتی شریف

*- نویسنده مسئول

۱- مقدمه

Alpert et al. (1997) نشان دادند در اثر کاهش سطح نواحی شمالی بحرالmidt، نرخ تبخیر از برکه‌های تبخیر واقع در حوضه جنوبی دریاچه، کاهش یافته است. در یک مطالعه طبیعی، نرخ تبخیر از سطح بحرالmidt با استفاده از روابط اصلاح شده پمن و دالتون محاسبه شده و نتایج با اندازه‌گیری‌ها و برآوردهای مطالعات قبلی مورد مقایسه قرار گرفت. روش برآورد دالتونی (از دسته روش‌های انتقال جرم) از آنجا که میزان تبخیر را بیش از حد معمول محاسبه می‌کرد مردود و نهایتاً معادله اصلاح شده پمن برای برآورد تبخیر از سطح بحرالmidt بر حسب پارامترهای سوری، رطوبت، دمای هوا و سرعت باد ارائه شد (Asmar and Ergenzinger, 1999). در مطالعه دیگری با استفاده از رابطه اصلاح شده پمن، نرخ تبخیر از سطح بحرالmidt طی یک دوره ۲۰ ساله محاسبه شده و در شبیه‌سازی دینامیکی آب و نمک این دریاچه به کار گرفته شد. نتایج نشان داد که در صورت ادامه شرایط اقلیمی فعلی، سطح آب دریاچه و نرخ تبخیر در طول زمان کاهش خواهد یافت. به علاوه این بررسی ضرورت مدل سازی دقیق تر تبخیر به عنوان یکی از مهمترین عوامل تأثیرگذار در معادلات بیلان آب و نمک بحرالmidt را نشان داد (Asmar and Ergenzinger, 2002).

در مطالعات بعدی با استفاده از روش بیلان انرژی معادل ۱/۱-۱/۲ متر در سال محاسبه گردید (Lensky et al., 2005). در بررسی‌های بعدی انجام شده با استفاده از دو روش بیلان جرم و بیلان انرژی متوسط حجم تلفات تبخیر در بحرالmidt در فاصله ۱۸۰۰ تا ۲۰۰۰ میلادی بین ۲ تا ۴ میلیارد متر مکعب در سال برآورد شد. همچنین این نتایج نشان داد که کاهش سطح دریاچه به مرور زمان منجر به کاهش نرخ تبخیر شده است. به علاوه در دوره‌هایی که تراز آب دریاچه به میزان قابل توجهی پایین بوده است، نرخ تبخیر به علت افزایش سوری کاهش داشته است (AL-Khlaifat, 2008).

در مطالعه‌ای تبخیر از آب خالص با تبخیر از دریاچه سور اونز (Owens) در ایالت نوادا امریکا به ازای چگالی‌های مختلف مورد مقایسه قرار گرفت نتایج این تحقیق نشان داد که به ازای افزایش یک درصدی در وزن مخصوص آب، نسبت تبخیر آب سور به آب خالص ۰/۰۱ درصد کاهش می‌یابد (Lee, 1927). در ادامه این مطالعه، تحقیق دیگری صورت گرفت که به جای چگالی، مقایسه تبخیر از سطوح آب سور و شیرین را در ازای غلظت‌های مختلف کلرید سدیم مورد بررسی قرار داد. نتایج به دست آمده تفاوت قابل ملاحظه با نتایج مطالعه Lee (1927) نداشت (Young, 1947).

تبخیر به عنوان مهمترین عامل تلفات آب دریاچه‌ها به ویژه در سیستم‌های بسته به شمار می‌رود و برآورد آن از سطح آب دریاچه‌ها، همواره از مهمترین چالش‌ها در مطالعات هیدرولوژی است (Giannou & Antonopoulos, 2007). تبخیر از دریاچه‌های سور به خصوص آب‌های فوق سور از محاسبات معمول تبخیر تعییت نمی‌کند (Asmar and Ergenzinger, 1999). تبخیر از سطح آب سور کمتر از سطح آب شیرین است؛ چراکه براساس قانون دوم ترمودینامیک افزایش فعالیت یونی در اثر حضور یون‌ها در حلال، پتانسیل شیمیایی حلال و در نتیجه نرخ تبدیل مولکول‌های آن از فاز مایع به گاز را کاهش می‌دهد (Sandler, 1999). همچنین نمک‌های محلول منجر به کاهش انرژی آزاد مولکول‌های آب شده و از این رو فشار بخار اشباع بالای سوراب را کاهش می‌دهد (Harbeck, 1955).

به طور کلی روش‌های مورد استفاده در برآورد تبخیر از سطح آب را می‌توان به پنج دسته تقسیم نمود: ۱) اندازه‌گیری با تشتک تبخیر^۳ (بیلان آب، ۳) بیلان انرژی، ۴) انتقال جرم و ۵) روش‌های ترکیبی (Giannou and Antonopoulos, 2007). از بین روش‌های مختلف برآورد تبخیر از سطوح آبی، روش بیلان انرژی به عنوان مطمئن‌ترین روش برآورد تبخیر از دریاچه‌ها قلمداد شده و در بسیاری از مراجع به عنوان روش مرجع برای مقایسه روش‌های مختلف به کار گرفته می‌شود (Rosenberry et al., 2007). نتایج روش بیلان انرژی، اگر به صورت فصلی میانگین‌گیری شوند در محدوده ۱۰ درصد مقداری واقعی و اگر به صورت ماهانه میانگین‌گیری شوند در محدوده ۱۵ درصد مقداری واقعی می‌باشد (Winter, 1981).

محققان مختلفی تبخیر از آب‌های سور را مورد بررسی قرار داده‌اند. برای مثال در مطالعات گوناگونی نرخ تبخیر از بحرالmidt^۴ (با مساحت^۲ ۶۰۵ km^۲ و سوری ۳۴٪) به عنوان تابعی از سوری، مورد بررسی قرار گرفته و در محدوده ۱/۰۵ تا ۲ متر در سال برآورد شده است (Neev and Emery, 1967; Anati et al., 1987).

حد پایین این برآورد با استفاده از روش بیلان انرژی در دهه‌های ۸۰ تا ۹۰ میلادی بدست آمد (Stanhill, 1994). حد بالای آن نیز با روش بیلان آب بدست آمده است (Salameh and El-Naser, 1999). همچنین سایر برآوردها از متوسط ارتفاع تبخیر سالانه از بحرالmidt از: ۱/۵۵ متر (Steinhorn, 1997) و ۱/۷۲ متر (Neumann, 1958).

همچنین (1955) Harbeck نتیجه‌گیری کرد که کاهش تبخیر نتیجه کاهش فشار بخار اشباع در اثر جامدات محلول است.

در یک بررسی آزمایشگاهی با استفاده از مدل انتقال جرم دالتونی، اثر شوری بر میزان تبخیراز تشک آب مورد بررسی قرار گرفت. در این مطالعه نرخ تبخیر روزانه در طول ۸ روز تابستان (شرایط حداکثر تبخیر) از پنج تشک به ترتیب با شوری‌های معادل $0/2$, 40 , 80 , 160 و 350 گرم بر لیتر، در شرایط هواشناسی مجاور دریاچه ارومیه اندازه‌گیری شد. سپس با اعمال اصلاح فشار بخار اشباع بر حسب نسبت مولی آب در محلول آب شور در رابطه تحریب برآورد تبخیر به روش دالتونی، نتایج برآوردها با اندازه‌گیری‌ها مقایسه شد. نتایج این مطالعه نشان داد که رابطه مستقیمی بین دما و غلظت نمک از تشک برقرار است؛ به طوری که با کاهش نسبت مولی آب، دما نیز کاهش می‌یابد. در مقابل، رابطه معکوسی بین نرخ تبخیر از تشک و میزان غلظت نمک برقرار است. همچنین نرخ تبخیر از منابع آب شور با غلظت شوری بیشتر از 400 گرم بر لیتر به صفر میل می‌کند (Ahmadzadeh Kokya and Ahmadzadeh Kokya (2008)).

همچنین در مطالعه دیگری، نرخ تبخیر تعرق از حوضه آبریز دریاچه ارومیه با استفاده از روش SEBAL برآورد شده است. در این مطالعه از 84 تصویر ماهواره‌ای سنجنده MODIS بر مبنای یک تصویر بدون ابر در هر ماه، استفاده شد. بر این اساس، نرخ تبخیر سالانه از دریاچه در دوره آماری 2002 تا 2008 در محدوده 900 تا 1300 میلی‌متر گزارش شده است (باقری هارونی، ۱۳۹۰). جهانبانی (۱۳۹۱)، نتایج حاصل از 23 روش برآورد نرخ تبخیر ماهانه از دریاچه را با روش بیلان انرژی مقایسه نمود. در این مطالعه متغیرهای هواشناسی در ایستگاه سینوپتیک ارومیه معرف شرایط هوای مجاور دریاچه درنظر گرفته شده است. بر اساس نتایج این مطالعه، روش‌های پریستلی - تیلر و دربون - کیجمن به ترتیب کمترین اختلاف را با روش بیلان انرژی داشتند. همچنین نرخ تبخیر سالانه دریاچه در سال‌های 2005 تا 2009 به ترتیب 1307 , 1178 , 975 , 1115 و 949 میلی‌متر برآورد شده است. همچنین نتایج برآورد نرخ تبخیر با اعمال اثر شوری طی این دوره به ترتیب عبارتند از: 1118 , 1094 , 933 و 887 میلی‌متر در سال (جهانبانی، ۱۳۹۱).

نرخ تبخیر از سطح دریاچه ارومیه در مجموعه این مطالعات در محدوده 890 تا 1360 میلی‌متر در سال (بیش از 50% اختلاف) تخمین زده شده است (جدول ۱). این در حالی است که با لحاظ نمودن مساحت متوسط دریاچه معادل 3000 کیلومترمربع، تنها یک سانتی‌متر خطا در برآورد ارتفاع تبخیر، منجر به ایجاد 30 میلیون مترمکعب خطا در محاسبات بیلان آب دریاچه می‌شود. این مسأله لزوم برآورد صحیح نرخ تبخیر از سطح دریاچه ارومیه را با استفاده از روش‌های پایه فیزیکی و داده‌های صحیح نشان می‌دهد.

در مطالعه دیگری نسخه‌ای از رابطه پمن برای آب شور ارائه شد که تبخیر را به صورت تابعی از تشعشع، دمای هوای رطوبت و سرعت باد محاسبه می‌کرد و ضریب فعالیت آب در برآورد آن لحاظ شده بود (Calder and Neal, 1984). (Ali et al., 2001) (Qaroun (1984)) با استفاده از ساحل جنوبی دریاچه کم عمق کاروئن (Qaroun) با داده‌های معمول هواشناسی توسعه دادند. همچنین نرخ تبخیر از سطح دریاچه شور یومکو یامدارک در منطقه بت-هیمالیا با استفاده از روش بیلان انرژی و بدون لحاظ نمودن اثر شوری برآورد گردید که در این بررسی متوسط نرخ تبخیر سالانه طی یک دوره 45 ساله 1253 میلی‌متر گزارش شد (Yu et al., 2011).

در خصوص تبخیر از سطح دریاچه ارومیه در گزارش‌های مهندسین مشاور که در مورد این دریاچه مطالعاتی را انجام داده‌اند مقادیر مختلفی ارائه شده است. به عنوان مثال مهندسان مشاور آب نیرو و در مطالعات مرحله دوم مقدماتی طرح بزرگراه شهید کلانتری مقدار متوسط تبخیر از سطح دریاچه را برابر 1359 میلی‌متر در سال گزارش کردند (مهندسان مشاور آب نیرو، ۱۳۷۱). در گزارش طرح مدیریت زیست محیطی دریاچه ارومیه نرخ تبخیر سالانه از سطح دریاچه در محدوده 894 تا 1172 میلی‌متر تخمین زده شده است (Yekom Consulting Engineers, 2002). همچنین در گزارش بیلان آب مطالعه پیامدهای زیست محیطی طرح‌های توسعه منابع آب حوضه ارومیه بر دریاچه، میزان تبخیر از سطح دریاچه برای دوره آماری 35 ساله ($1345-80$) برابر 960 میلی‌متر در سال برآورد شده است (مهندسان مشاور یکم، ۱۳۸۳). در حالی که در گزارش طرح مطالعات تفصیلی هیدرولیک دریاچه ارومیه، طرح بزرگراه شهید کلانتری (۱۳۸۳)، مهندسین مشاور طرح نوآندیشان متوسط نرخ تبخیر سالانه را برابر 1223 میلی‌متر برآورد کردند (مهندسان مشاور طرح نوآندیشان، ۱۳۸۳). همچنین در گزارش مطالعات هیدرولیکی و هیدرولوژیکی طراحی بزرگراه شهید کلانتری، تبخیر از سطح دریاچه با اعمال ضریب تصحیح 1222 میلی‌متر در سال ذکر شده است (مهندسان مشاور صدراء، ۱۳۸۳). در کلیه این مطالعات نرخ تبخیر دریاچه با استفاده از میانگین‌گیری ارتفاع تبخیر از تعدادی از ایستگاه‌های مجاور دریاچه و اعمال ضرایب اصلاحی برای تشک تبخیر و اثر شوری برآورد شده است.

جدول ۱ - خلاصه مطالعات صورت گرفته در مورد برآورد نرخ تبخیر از دریاچه ارومیه

ردیف	مرجع	متوسط نرخ تبخیر برآورده شده (mm/year)	روش برآورد
۱	مهندسان مشاور آب نیرو (۱۳۷۱)	۱۳۵۹	میانگین‌گیری ارتفاع تبخیر از تعدادی از ایستگاه‌های مجاور دریاچه و اعمال ضرایب اصلاحی برای تشکیل تبخیر و اثر شوری
۲	YEKOM Consulting Engineers, 2002	۸۹۴-۱۱۷۲	
۳	مهندسين مشاور طرح نوآندیشان (۱۳۸۳)	۱۲۲۳	
۴	مهندسين مشاور صدرا (۱۳۸۴)	۱۲۲۲	
۵	Ahmadzadeh Kokyal & Ahmadzadeh Kokyal (2008)	۴*	- تشکیل آب شور با شوری‌های مختلف - روابط تجربی با اعمال اثر شوری در قالب کسر مولی
۶	باقری هارونی (۱۳۹۰)	۹۰۰-۱۳۰۰	روش SEBAL
۷	جهانبانی (۱۳۹۱)	۸۸۷-۱۱۱۸	- استفاده از ۲۳ روش تجربی - روش بیلان انرژی بر مبنای داده‌های ایستگاه سینوپتیک ارومیه و اصلاح اثر شوری

* نرخ تبخیر بر حسب mm/day می‌باشد.

بیلان انرژی در مقیاس زمانی روزانه و به صورت توزیعی و اعمال اثر کاهشی شوری در برآورد نرخ تبخیر از سطح دریاچه ارومیه است که می‌تواند منجر به برآورد دقیق تری از نرخ تبخیر دریاچه ارومیه در قیاس با مطالعات پیشین شود.

۲- منطقه مورد مطالعه

دریاچه ارومیه در شمال غربی ایران و ما بین دو استان آذربایجان شرقی و غربی (۲۴ کیلومتری شرق ارومیه) واقع می‌باشد. دریاچه با شکلی تقریباً مستطیلی و شمالی جنوبی در میان یک حوضه آبریز بسته واقع شده است، به طوری که کلیه آب‌های سطحی و زیرزمینی از مناطق اطراف به سمت آن سرازیر می‌شوند (شکل ۱). بستر دریاچه دارای شیب عمومی جنوب به شمال می‌باشد و در ناحیه شمالی بر عمق آن افزوده می‌شود (Alipur, 2006). حداقل مساحت و عمق دریاچه به ترتیب ۶۱۰۰ کیلومترمربع و ۱۶ متر برآورد شده است (Eimanifar and Mohebbi, 2007) (جربانات ورودی، مساحت دریاچه در مرداد ماه سال ۱۳۹۰ آگوست ۲۰۱۱) به ۲۳۶۶ کیلومتر مربع کاهش یافته است (UNEП and GEAS, 2012) (حجم متوسط دریاچه نیز بین ۱۰ الی ۴۵ میلیارد مترمکعب در زمان‌های کم‌آبی و پرآبی تخمین زده شده است (Sima and Tajrishy, 2013).

روش‌های پایه فیزیکی نظیر بیلان انرژی اگرچه از دقت بالایی در قیاس با روش‌های تجربی برخوردارند، اما به کارگیری آن‌ها مستلزم در اختیار داشتن داده‌های پایه متعدد (نظیر دمای سطح، دمای هوای آبدو، فشار بخار هوا و...) می‌باشد که در اکثر موارد به سختی در دسترس هستند. استفاده از فن‌آوری سنجش از دور می‌تواند در تأمین داده‌های مورد نیاز برای برآورد تبخیر از سطوح آب و خشکی وسیع مورد توجه قرارگیرد. مزایای مختلف استفاده از داده‌های سنجش از دور در برآورد تبخیر و تعریق از سطوح عبارتند از: قابلیت برآورد تبخیر در صورت کمبود یا عدم فراهمی داده‌های زمینی، امکان ارائه داده‌ها در مقیاس مکانی وسیع، پایش تغییرات مکانی داده‌ها و امكان تهیه داده از نقاط غیرقابل دسترس یا صعب‌العبور (Murrihy and Miltenburg, 2010).

در این مطالعه بر مبنای روش بیلان انرژی و استفاده از داده‌های سنجش از دور، یک مدل توزیعی با لحاظ نمودن شوری آب برای برآورد نرخ تبخیر روزانه از سطح دریاچه‌های شور توسعه داده شد. سپس این مدل برای برآورد نرخ تبخیر از سطح آب دریاچه ارومیه طی سال ۲۰۱۰ میلادی به کار رفت. با استفاده از نقشه‌های نرخ تبخیر روزانه طی روزهای بدون ابر، نقشه‌های ماهانه نرخ تبخیر از سطح بدست آمده و توزیع مکانی و زمانی نرخ تبخیر از سطح دریاچه مورد بررسی قرار گرفت. از ویژگی‌های این مطالعه استفاده از معادله

حوضه برای مصارف کشاورزی، منجر به کاهش جریانات ورودی به دریاچه و افت تراز آب آن شده است (UNEP and GEAS, 2012). براساس برآوردهای صورت گرفته، به منظور حفظ پایداری اکوسیستم دریاچه ارومیه (معادل حفظ تراز ۱۲۷۴/۱ متر) به حداقل جریان ورودی ۳۰۸۶ میلیون متر مکعب نیاز است (Abbaspour and Nazaridoust, 2007).

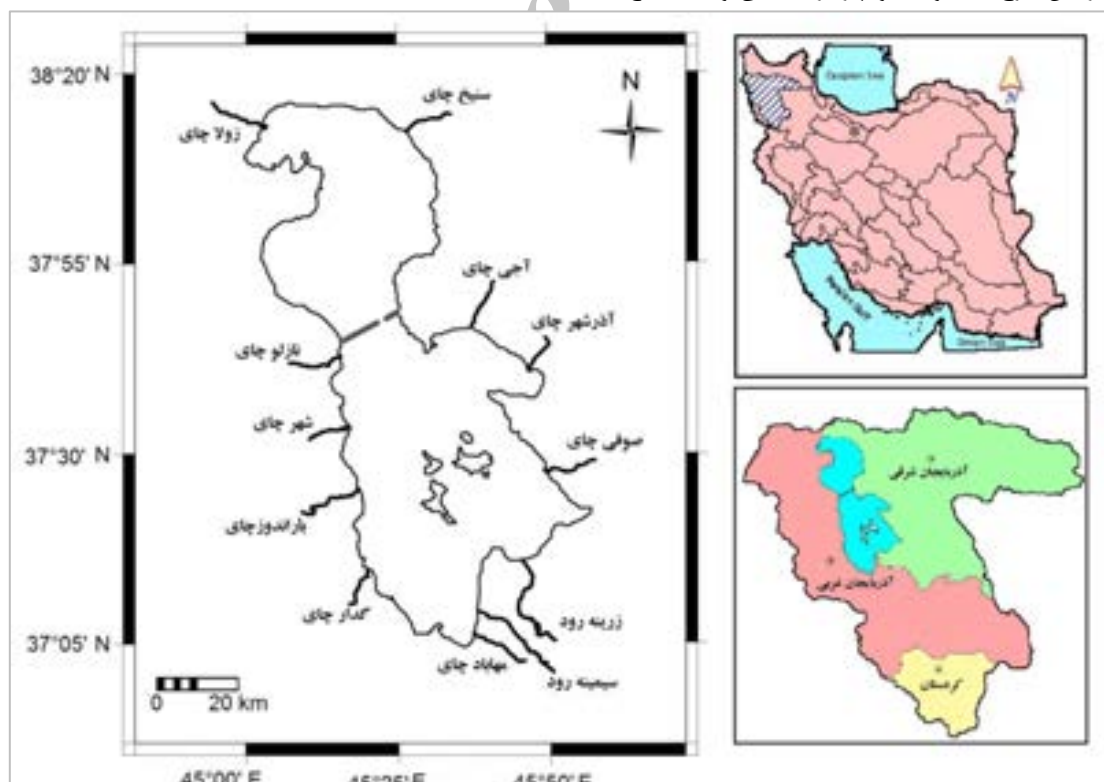
۳- روش مطالعه

۱-۳- ساختار مدل SDDE و معادلات حاکم

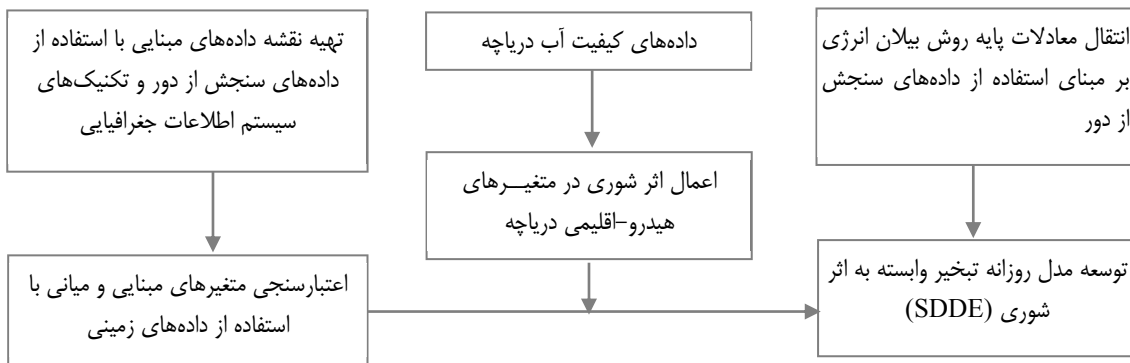
در این مطالعه برای برآورد نرخ تبخیر از سطح آب دریاچه، مدل SDDE (Salinity Dependant Daily Evaporation) مدل توسعه داده شد. مراحل اصلی توسعه مدل SDDE در شکل ۲ نشان داده شده است. مدل SDDE یک مدل روزانه پایه فیزیکی مبتنی بر معادلات بیلان انرژی است که در آن داده‌های ورودی با استفاده از داده‌های سنجش از دور و تکنیک‌های سامانه اطلاعات جغرافیابی به دست می‌آیند. همچنین داده‌های شوری آب دریاچه برای اعمال اثر کاهشی شوری در نرخ تبخیر لحاظ می‌شوند. در نهایت خروجی‌های مدل نقشه‌های روزانه نرخ تبخیر از سطح آب می‌باشند که توزیع مکانی و زمانی نرخ تبخیر از سطح دریاچه را نشان می‌دهند.

دریاچه ارومیه به عنوان تالاب با اهمیت بین المللی در سال ۱۹۷۱ در فهرست کنوانسیون رامسر و به عنوان ذخیره‌گاه بیوسفر در سال ۱۹۷۶ در یونسکو به ثبت رسید (Ramsar Convention; Biosphere Reserves, 2010). در مجموع ۱۰۲ جزیره عمده‌ای به صورت صخره‌ای داخل دریاچه وجود دارند که مساحتی بالغ بر ۷۸۱۶ هکتار را دارا می‌باشند. چهار جزیره اصلی عبارتند از: کبودان، اشک، آرزو و اسپیر که ۶۹۷۰ هکتار مساحت دارند (جامعه مهندسان مشاور ایران، ۱۳۹۰). دریاچه توسط میانگذر شهید کلانتری به دو ناحیه شمالی و جنوبی تقسیم می‌شود که ۱۵۴۳۰ متر از این جاده از داخل دریاچه ارومیه عبور می‌کند (Zeinoddini et al., 2009).

متوجه سالانه آب ورودی به دریاچه در شرایط نرمال ۵۳۰۰ میلیون متر مکعب برآورد شده است که بین ۷۶۰ تا ۱۵۲۶ میلیون متر مکعب متغیر است (برنامه مدیریت جامع دریاچه ارومیه، ۱۳۸۹). از این میزان ورودی مستقیم آب زیرزمینی به دریاچه تنها ۲۱۶ میلیون متر مکعب می‌باشد (جامعه مهندسان مشاور ایران، ۱۳۹۰). همچنین متوسط سالانه تبخیر از سطح دریاچه بین ۹۰۰ تا میلی‌متر ۱۱۷۰ میلی‌متر در درازمدت نرخ بارش مستقیم بر سطح دریاچه معادل ۲۹۷ میلی‌متر در سال برآورد شده است (مهندسين مشاور يكم، ۱۳۸۳). در دو دهه گذشته، افزایش طرح‌های توسعه و بهره‌برداری بی‌رویه از منابع آب



شکل ۱- موقعیت حوضه آبریز دریاچه ارومیه، دریاچه، جزایر و رودخانه‌های اصلی آن



شکل ۲- مراحل اصلی مدل روزانه تبخیر وابسته به اثر شوری (SDDE)

ضریب فعالیت آب تابع ترکیب شیمیایی و شرایط ترمودینامیکی محلول است. بنابراین برای بررسی اثر کاهشی ترکیبات بر نرخ تبخیر در محلول آب شور لازم است ضریب فعالیت آب با استفاده از سیستم معادلات برهمن کنش یونی پیترز (Pitzer, 1979) محاسبه و یا به صورت آزمایشگاهی تعیین شود. طی فرآیند تبخیر، غلظت املاح و در نتیجه مقاومت یونی محلول افزایش می‌یابد، در حالیکه ضریب فعالیت آب کاهش می‌یابد. کاهش ضریب فعالیت آب منجر به کاهش فشار بخار آب و کنترل نرخ تبخیر خواهد شد (Heidari et al., 2010).

$$e_{sat}(T_s) = 6.105 \cdot \exp\left(\frac{17.27 T_s}{T_s + 237.7}\right) \quad (5)$$

کلیه پارامترهای روابط فوق پیش‌تر تعریف شده‌اند. نحوه محاسبه هریک از اجزای شار انرژی نیز در بخش بعد تشریح شده است.

محاسبه نرخ تبخیر در مدل SDDE بر مبنای استفاده از رابطه بیلان انرژی- نسبت بؤن (BREB)^۵ صورت می‌گیرد (Winter et al., 2003):

$$E = 86400 \times \frac{Q_{SN} - Q_{LW} - Q_n + Q_{sed} + Q_{AD}}{\rho \cdot L_e (1+B)} \quad (1)$$

که اجزای این دو رابطه عبارتند از: Q_{SN} شار خالص تابش خورشیدی با طول موج کوتاه؛ Q_{LW} شار انرژی خالص ناشی از تابش خورشیدی با طول موج بلند؛ Q_{AD} خالص شارگرمای انتقال یافته به سطح آب از طریق بارش، جریان آب سطحی و زیرزمینی؛ Q_{sed} شار گرمای رها شده از رسوبات به آب؛ Q_n شار گرمای خالص. کلیه شارهای انرژی در رابطه فوق بر حسب (W/m^2) می‌باشند. همچنین ρ چگالی آب دریاچه (kg/m^3)؛ B نسبت بؤن (بی بعد)؛ L_e گرمای نهان تبخیر دریاچه (m/day) و E نرخ تبخیر روزانه (J/Kg) می‌باشد.

نسبت بؤن نشان‌دهنده سهم گرمای محسوس نسبت به گرمای نهان می‌باشد (Bowen, 1926) که بنا به تعریف عبارتست از:

$$B = c_b \cdot \frac{T_s - T_a}{e_s - e_a} \cdot \frac{P}{1000} \quad (2)$$

در این رابطه: T_s و T_a به ترتیب دمای هوای روی سطح دریاچه و دمای سطح آب (C)؛ e_s و e_a به ترتیب فشار بخار هوا و فشار بخار سطح دریاچه (P : mbar)؛ c_b : فشار جو ($mbar$) و c_a نیز ثابت بؤن (Bowen, 1926) می‌باشد که معادل $61^{\circ}C^{-1}$ در نظر گرفته می‌شود.

گرمای نهان تبخیر L_e نیز بر حسب (MJ/Kg) به صورت تابعی از دمای سطح آب (C) از رابطه زیر قابل محاسبه است (Orlob, 1981).

$$L_e = 2.5 - 0.0024 T_s \quad (3)$$

فشار بخار آب شور (e_s) در قیاس با فشار بخار آب شیرین (e_{sat}) کمتر است. این کاهش به نسبت ضریب فعالیت آب a_{H2O} است و از طریق رابطه زیر بیان می‌شود:

$$e_s = a_{H2O} \cdot e_{sat}(T_s) \quad (4)$$

از آنجا که در محصولات آلبدوی سنجنده MODIS که در ادامه مورد استفاده قرار خواهد گرفت، آلدو برای اجزای تابش مستقیم و پراکنده شده به صورت مجزا ارائه شده است، محاسبه شار تابش طول موج کوتاه ورودی نیز بر حسب اجزای آن شامل تابش خورشیدی مستقیم ($Q_{s dir}$) و پراکنده شده ($Q_{s diff}$) به شرح زیر صورت گرفت:

$$Q_{SN} = (1 - BSA) \cdot Q_{s dir} + (1 - WSA) \cdot Q_{s diff} \quad (5)$$

در رابطه فوق BSA و WSA به ترتیب عبارتند از متوسط روزانه آلبدوی آسمان سیاه^۶ و سفید^۷ و $Q_{s dir}$ و $Q_{s diff}$ نیز متوسط روزانه

$$Q_{a\ out} = 0.03Q_a \quad (16)$$

$$Q_{bs} = \varepsilon_{surface} \cdot \sigma \cdot T_s^4 \quad (17)$$

در روابط فوق: T_s و T_a به ترتیب دمای هوا و سطح آب بر حسب درجه کلوین و σ ثابت استفان بولتزمن معادل ($J/(s \cdot m^2 \cdot K^4)$) $\times 10^{-8}$ می باشند. همچنین گسیلمندی هوای روی سطح دریاچه (ε_a) و بر حسب دما و فشار بخار هوا (e_a) از رابطه Prata (1996) به صورت زیر محاسبه می شود:

$$\varepsilon_a = \left[1 - \left(1 + \frac{46.5 e_a}{T_a} \right) \exp \left(- \sqrt{1.2 + 3 \times 46.5 \left(\frac{e_a}{T_a} \right)} \right) \right] \quad (18)$$

۳-۱-۳- شار گرمای خالص

شار گرمای خالص (Q_n) یا شار انرژی ذخیره شده در دریاچه تابع تغییرات دمای آب و نیز تغییرات جرم آب دریاچه در دوره زمانی مدنظر است. در دریاچه ارومیه از آنجا که تغییرات روزانه تراز سطح آب دریاچه، حداقل در حد چند سانتی‌متر و قبل صرفظیر کردن می باشد، می توان کل شار انرژی ذخیره شده در دریاچه را ناشی از تغییرات دما دانست. از طرفی با توجه به عمق کم دریاچه در دوره مطالعه، لایه‌بندی حرارتی در دریاچه وجود ندارد (Sima and Tajrishy, 2014). بنابراین شار انرژی ذخیره شده عبارت است از:

$$\Delta Q_n = \frac{c_p \rho_s V}{A} \times \frac{\Delta T_s}{\Delta t} \quad (19)$$

در رابطه فوق، c_p : ظرفیت گرمای ویژه آب (برای دریاچه‌های شور $3200 \text{ J/kg}^\circ\text{C}$)، Δt : گام زمانی که باید بر حسب ثانیه بیان شود، A و V به ترتیب سطح (km^2) و حجم دریاچه (km^3) هستند که از رابطه تراز- سطح- حجم دریاچه در هر گام زمانی قابل محاسبه خواهد بود و ΔT_s تغییرات دمای سطح دریاچه (بر حسب $^\circ\text{C}$) است که برابر با تغییرات دمای لحظه‌ای دریاچه فرض شده و از تفاضل نقشه‌های دمای سطح لحظه‌ای دریاچه طی دو روز متولی بدست می آید. به علت این که در مقیاس روزانه، میزان شار گرمای ذخیره شده در قیاس با شار تابش خالص بسیار ناچیز است، می توان در محاسبه نقشه‌های نرخ تبخیر روزانه از این ترم صرفنظر نمود.

۴-۱-۳- شار انرژی انتقالی و رسوبات

شار انرژی انتقالی از جریان‌های ورودی/خروجی به دریاچه شامل بارش، رواناب سطحی، آب زیرزمینی و تبخیر می باشد. شار گرمای انتقالی از رسوبات به سطح آب نیزکه تابع خصوصیات مواد رسوبی شامل کیفیت، عمق رسوبات و دمای رسوبات است چندان قابل ملاحظه نبوده و در اکثر موارد صرفظیر می شود. محققان مختلف

تابش طول موج کوتاه مستقیم و پراکنده شده ورودی (W/m^2) می باشند. مقادیر متوسط روزانه تابش مستقیم و پراکنده شده طول موج کوتاه ورودی، از روابط زیر محاسبه می شوند که با استفاده از روابط تابش لحظه‌ای مستقیم و پراکنده شده طول موج کوتاه دریافتنی، به دست آمده‌اند (Long et al., 2010)

$$Q_{s\ dir\ (daily)} = \left(a + b \frac{n}{N} \right) \frac{SC}{\pi \cdot d^2} (\omega_{hs} \cdot \sin \delta \cdot \sin \varphi + \cos \delta \cdot \cos \varphi \cdot \sin \omega_{hs}) \quad (8)$$

$$Q_{s\ diff\ (daily)} = \frac{0.3 \cdot SC}{\pi \cdot d^2} \left(1 - a - b \frac{n}{N} \right) (\omega_{hs} \cdot \sin \delta \cdot \sin \varphi + \cos \delta \cdot \cos \varphi \cdot \sin \omega_{hs}) \quad (9)$$

در روابط فوق SC : ثابت خورشیدی (برابر 1367 W/m^2)؛ d : فاصله زمین و خورشید در هر لحظه (بی بعد)؛ N : تعداد ساعت آفتابی مشاهده شده و محتمل در طی روز بر حسب ساعت؛ a و b : ضرایب تجربی خاص منطقه مورد مطالعه؛ ω_{hs} : زاویه ساعت طلوع خورشید (رادیان)؛ φ : عرض جغرافیایی (رادیان)؛ δ : زاویه خورشیدی (رادیان) و δ : زاویه میل خورشید (رادیان) می باشند. فاصله زمین و خورشید در هر لحظه و زاویه میل خورشید به ترتیب از روابط ۱۰ و ۱۱ به شرح زیر محاسبه می گردند:

$$d = 1 + 0.0167 \sin(2\pi \cdot \frac{JD-93.5}{365}) \quad (10)$$

$$\delta = 0.409 \sin\left(\frac{2\pi \cdot JD}{365} - 1.39\right) \quad (11)$$

در رابطه فوق، JD شماره روزهای سال است (از ۱ تا ۳۶۵).

زاویه ساعت طلوع خورشید از رابطه ارائه شده توسط (1965) Sellers محاسبه می گردد:

$$\omega_{hs} = \cos^{-1}(-\tan \varphi \cdot \tan \delta) \quad (12)$$

همچنین ساعت آفتابی محتمل با استفاده از زاویه ساعت طلوع خورشید به صورت زیر قابل محاسبه است.

$$N = \frac{24 \cdot \omega_{hs}}{\pi} \quad (13)$$

مقادیر ضرایب a و b بر حسب موقعیت جغرافیایی و شرایط اقلیمی می توانند تغییر کنند. در گزارش طرح جامع آب کشور- حوضه آبریز ارومیه (جاماب) مقادیر a و b در ایستگاه سینوپتیک ارومیه، $40^\circ 00' \text{ N}$ و $5^\circ 00' \text{ E}$ پیشنهاد شده است (جاماب، ۱۳۷۷).

۲-۱-۳- شار خالص تابش طول موج بلند

شار خالص تابش طول موج بلند از رابطه زیر محاسبه می شود:

$$Q_{LW} = -Q_a + Q_{a\ out} + Q_{bs} \quad (14)$$

$Q_{a\ out}$ و Q_{bs} مؤلفه‌های تابش طول موج بلند ورودی دریاچه و برگشتی از اتمسفر و Q_{bs} تابش طول موج بلند برگشتی از سطح دریاچه است که با استفاده از روابط ۱۵ تا ۱۷ محاسبه می شوند:

$$Q_a = \varepsilon_a \cdot \sigma \cdot T_a^4 \quad (15)$$

نرمال شده پوشش گیاهی (NDVI)^{۱۱}، دمای سطح، آب‌دو، آب قابل بارش (PWV)^{۱۲} و گسیلمندی سطح سنجنده MODIS برای استخراج لایه‌های مبنایی مورد نیاز در محاسبه تبخیر استفاده شد. مشخصات محصولات مورد استفاده MODIS به همراه هدف کاربرد آن‌ها در توسعه مدل SDDE در جدول ۲ ارائه شده است. در نهایت پس از انجام پردازش‌های مورد نیاز، مدل سازی تبخیر با استفاده از مجموعاً ۱۵۶ تصویر دمای سطح در ۵۵ روز بدون ابر در سال ۲۰۱۰ انجام شد. شکل ۳ توزیع ماهانه تصاویر دارای کیفیت مناسب را که در این مطالعه مورد استفاده قرار گرفته اند نشان می‌دهد.

۳-۲-۳- داده‌های مکانی بدست آمده از تلفیق روش‌های درونیابی مکانی و داده‌های سنجش از دور

به منظور لحاظ نمودن تغییرات مکانی متغیرهای هواشناسی در برآورد تبخیر، لازم است که متغیرهای هواشناسی مورد استفاده در برآورد اجزای معادله بیان انرژی به صورت مکانی برآورد شوند. به علاوه برخی از این متغیرها به طور مستقیم قابل استخراج از داده‌های سنجش از دور نمی‌باشند و بنابراین لازم است که از روش‌های دیگری برآورد شوند. از این رو با بررسی روش‌های مختلف از طریق اعتبارسنجی تقاطعی، در نهایت برای هریک از این متغیرها روش مناسب به شرح جدول ۳ انتخاب شده و برای برآورد آن‌ها مورد استفاده قرار گرفت.

متفق‌اند که صرفنظر کردن از شارهای انرژی کوچک (نظیر شار انرژی انتقالی و شارگرمای رسوبات) تأثیر چندانی در نتایج معادله بیلان انرژی ندارد (Winter et al., 2003).

۲-۳- داده‌های پایه مدل

۱-۲-۳- داده‌های بدست آمده از مطالعات آزمایشگاهی و اندازه گیری میدانی

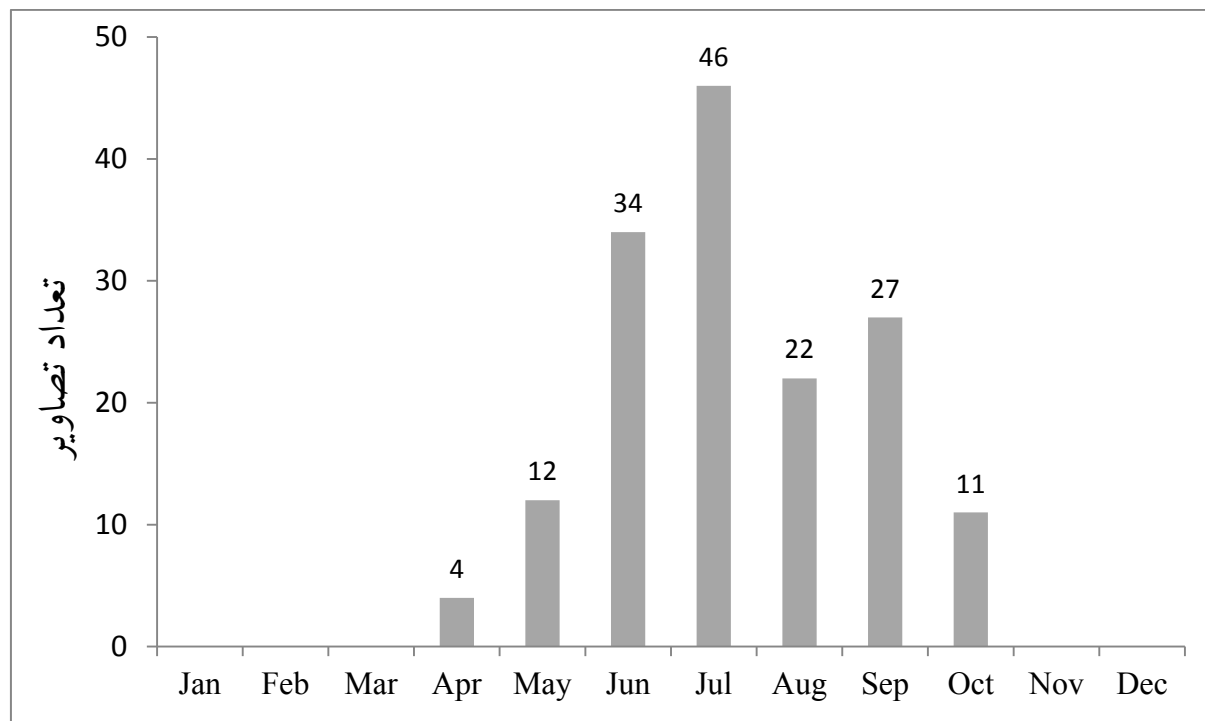
مقادیر ضرایب فعالیت آب دریاچه ارومیه در محدوده دمایی ۱۰ تا ۵۰ درجه سانتیگراد طی بررسی‌های آزمایشگاهی، محاسبه شده است (Heidari et al., 2010). با توجه به محدوده معمول تغییرات دمای آب دریاچه طی روزهای بدون ابر (۱۰ تا ۳۰ درجه سانتیگراد)، مقادیر ضریب فعالیت آب در محدوده ارائه شده (۶۹۸/۰ تا ۷۷۹/۰) با توجه به دما تعیین شده و برای محاسبه فشار بخار سطح آب به کار گرفته شد. همچنین برای چگالی آب، در این مطالعه از نقشه‌های فصلی چگالی آب دریاچه که بر اساس نمونه‌برداری‌های صورت گرفته در فاصله زمانی مرداد ۱۳۸۸ تا تیر ۱۳۸۹ بدست آمده‌اند استفاده شد که چگالی آب دریاچه در محدوده ۱/۱۹ g/cm³ تا ۱/۲۴ در نواحی و طی فصول مختلف گزارش شده است (Sima and Tajrishy, 2014).

۲-۳- داده‌های سنجش از دور

در این مطالعه از محصولات ماسک ابر^{۱۳}، پوشش سطح، شاخص

جدول ۲- محصولات مورد استفاده از سنجنده MODIS، ویژگی‌ها و اهداف به کارگیری آن‌ها

محصول	اسم محصول	سکو	قدرت تفکیک مکانی (m)	قدرت تفکیک زمانی	هدف
ماسک ابر	MOD35	Terra	۱۰۰۰	لحظه‌ای	تعیین تصاویر فاقد ابر
	MYD35	Aqua	۱۰۰۰	لحظه‌ای	
پوشش سطح	MCD12Q1	ترکیبی	۵۰۰	سالانه	جداسازی سطح آب و خشکی
	MOD13Q1	Terra	۲۵۰	۱۶ روزه	
دمای سطح	MOD11-L2	Terra	۱۰۰۰	لحظه‌ای	تعیین متوسط روزانه دمای سطح آب دریاچه
	MYD11-L2	Aqua	۱۰۰۰	لحظه‌ای	
آب‌دو	MCD43-B3	ترکیبی	۱۰۰۰	۱۶ روزه	تعیین آبدوی سطح دریاچه
آب قابل بارش	MOD05-L2	Terra	۱۰۰۰	لحظه‌ای	استخراج نقشه روزانه فشار بخار هوای مجاور دریاچه
	MYD05-L2	Aqua	۱۰۰۰	لحظه‌ای	
گسیلمندی سطح	MOD11-L2	Terra	۱۰۰۰	لحظه‌ای	تعیین گسیلمندی سطح



شکل ۳- توزیع ماهانه تصاویر ماهواره‌ای MODIS مورد استفاده در برآورد تبخیر دریاچه ارومیه در سال ۲۰۱۰

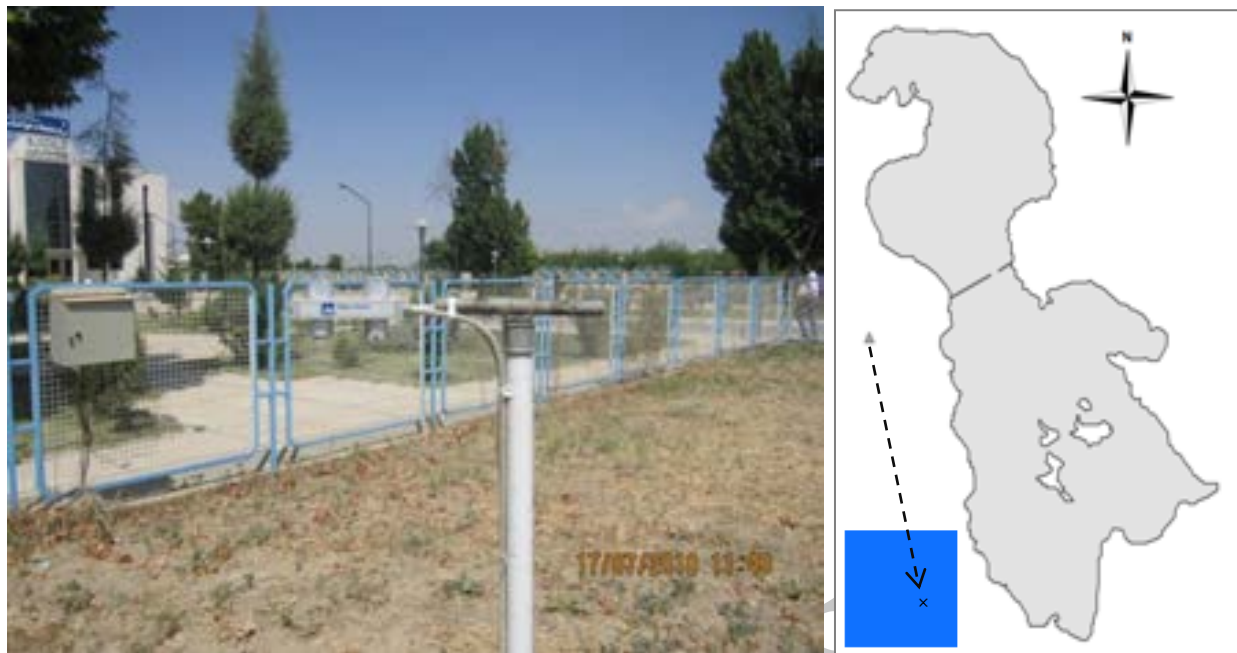
جدول ۳- روش‌های مورد استفاده در برآورد مقادیر متغیرهای هواشناسی

روش استخراج	متغیر	ساعت آفتابی	دروندیابی مکانی
همبستگی بین دمای حداکثر و حداقل دمای هوا با نقشه‌های دمای سطح آب گذر روز و شب و میانگین گیری	دمای هوا	دروندیابی مکانی	همبستگی بین دمای حداکثر و حداقل دمای هوا
همبستگی بین نقشه‌های آب قابل بارش و فشاربخار هوا روزانه در ایستگاه‌های سینوپتیک مجاور دریاچه	فشاربخارها	دروندیابی مکانی	همبستگی بین نقشه‌های آب قابل بارش و فشاربخار هوا روزانه در ایستگاه‌های سینوپتیک مجاور دریاچه
توسعه روابط همبستگی بین فشار هوا و ارتفاع در هر روز	فشار هوا	دروندیابی مکانی	توسعه روابط همبستگی بین فشار هوا و ارتفاع در هر روز

اعتبارسنجدی داده‌های دمای سطح آب از داده‌های دمای سطح مرکز تحقیقات آرتیمیا که به فاصله زمانی حداکثر یک ساعت از زمان گذر ماهواره اندازه‌گیری شده بود استفاده گردید (Sima and Tajrishy, 2013). همچنین برای اندازه‌گیری تابش طول موج کوتاه، یک دستگاه تشушع‌سنج در ایستگاه تحقیقاتی سازمان هواشناسی ارومیه واقع در ۱۶ کیلومتری غرب دریاچه نصب شده و مورد بهره‌برداری قرار گرفت (شکل ۴). شارهای انرژی تابشی از تاریخ ۲۱ اردیبهشت ماه سال ۸۹ (۱۱ می ۲۰۱۰) با استفاده از یک دستگاه دیتا‌لگر به صورت ساعتی اندازه‌گیری شده و برای مقایسه با داده‌های همزمان تابش طول موج کوتاه ورودی که بر مبنای داده‌های ماهواره‌ای محاسبه شده‌اند در ساعت ظهر محلی استفاده شد.

۳-۳- اندازه گیری‌های زمینی برای اعتبارسنجدی مدل از آنجا که روش بیلان انرژی از جمله دقیق‌ترین روش‌های برآورد تبخیر می‌باشد (Lenters et al., 2005)، نمی‌توان از سایر روش‌ها (نظیر تشک)، برای اعتبارسنجدی نتایج حاصل از این روش استفاده نمود. به علاوه از آنجا که خروجی مدل‌های تبخیرسنجدی که برپایه روش بیلان انرژی و داده‌های سنجش از دور توسعه یافته‌اند به صورت نقشه‌های نرخ تبخیر می‌باشد، نقشه نرخ تبخیر مستقیماً با اندازه گیری‌های زمینی قابل اعتبارسنجدی نمی‌باشند. روشی که برای اعتبارسنجدی خروجی این مدل‌ها به کار می‌رود، اعتبارسنجدی لایه‌های مبنایی یا میانی با داده‌های زمینی است.

در این مطالعه لایه مبنایی دمای سطح آب و لایه میانی شار تابش طول موج کوتاه ورودی (به عنوان مهمترین شار معادله بیلان انرژی) به صورت لحظه‌ای مورد اعتبارسنجدی قرار گرفت. به این منظور



شکل ۴- موقعیت ایستگاه تحقیقاتی ارومیه نسبت به دریاچه و نسبت به پیکسل متناظر در تصاویر ۵۰۰ متری MODIS (سمت راست) و دستگاه تشعشع سنج نصب شده در ایستگاه تحقیقاتی سازمان هواشناسی (سمت چپ)

تطبیق قبل قبول ($R^2 = -0.27$; Bias = -0.92°C) داده‌های ماهواره‌ای دمای سطح آب با اندازه‌گیری‌های زمینی می‌باشد (Sima and Tajrishi, 2013). برای اعتبارسنجی تابش طول موج کوتاه ورودی، پس از بررسی داده‌های سنجش از دور تابش طول موج کوتاه ورودی و خالص در روزهای بدون ابر و لحظه نمودن خالصهای داده‌ای در داده‌های زمینی، تعداد ۶۵ زوج داده همزمان برای مقایسه حاصل شد. مقادیر شاخص‌های خطای مطلق (MAE) و خطای محدود مربعات (RMSE) به ترتیب معادل 95W/m^2 و 112W/m^2 محاسبه گردید. همچنین مقادیر آماره‌های داده‌های تابش طول موج کوتاه حاصل از سنجش از دور و داده‌های زمینی در جدول ۵ نشان داده شده که به هم نزدیک است. به علاوه نمودار مقایسه مقادیر و تغییرات زمانی شار تابش طول موج کوتاه ورودی حاصل از داده‌های زمینی و ماهواره‌ای به ترتیب در شکل‌های ۵ و ۶ نشان داده شده است. شبیه سنجی نزدیکی به ۱ و عرض از مبدأ 55W/m^2 - نیز ارتباط بهتر داده‌های زمینی و ماهواره‌ای را در تأیید اعتبار ترم تابش طول موج کوتاه ورودی تأیید می‌کند.

در مورد مقایسه خطای برآورد شار تشعشع طول موج کوتاه ورودی و خالص، مقادیر ضریب تعیین و RMSE به ترتیب کمتر و بیش تر از مقدار Bias در محدوده مقدار گزارش شده در مطالعات Ryu et al. (2008) و Bisht et al. (2005, 2010) می‌باشد

۳-۴- تحلیل حساسیت مدل

به منظور تعیین حساسیت نسبی مدل بیلان انرژی به متغیرهای ورودی، تحلیل حساسیت پارامترهای مدل برای یک روز به طور نمونه (تاریخ ۷/۱۰/۲۰) انجام شد. به این منظور از روش تحلیل اثر یک عامل در یک زمان^{۱۳} (OFAT) (روی متغیر خروجی استفاده شد. در این روش در هر اجرای مدل مقدار یکی از متغیرهای ورودی مستقل در محدوده معنی دار آن متغیر تغییر داده شده و با ثابت نگه داشتن مقادیر سایر متغیرها در حد مقادیر پایه، اثر تغییرات آن متغیر روی متغیر خروجی ارزیابی می‌شود (Murphy et al., 2004).

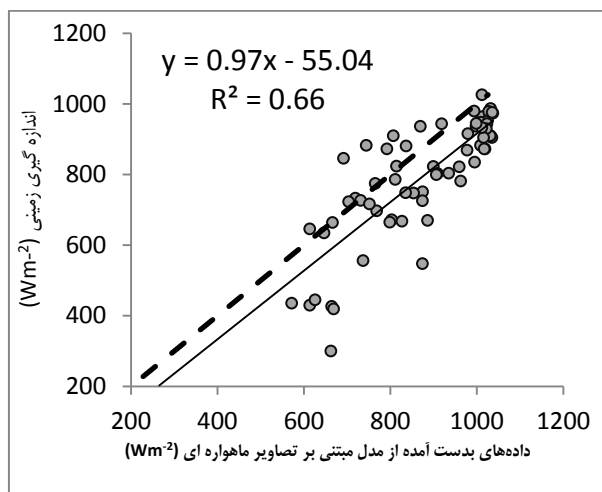
در انجام تحلیل حساسیت مدل SDDE، مقادیر متوسط هر یک از متغیرهای پایه شامل دمای هوا، دمای سطح، ساعات آفتابی، چگالی، آلبو، آب قابل بارش، فشار هوا و ضریب فعالیت آب در محدوده قابل قبول آن متغیر (با حفظ مقادیر سایر متغیرها) به صورت درصدی تغییر داده و نتایج آن بر میزان متوسط نرخ تبخیر روزانه از سطح دریاچه ارزیابی شد. سپس با ترسیم منحنی‌های حساسیت متغیرها و محاسبه شبیه منحنی، مقایسه حساسیت نسبی آنها صورت گرفت.

۴- نتایج و بحث

۱-۴- اعتبارسنجی مدل

نتایج اعتبارسنجی دمای سطح آب با اندازه‌گیری‌های زمینی حاکی از

با کاهش دما و شدت تابش خورشیدی از میزان نرخ تبخیر کاسته می‌شود.



شکل ۵- مقایسه شار تابش طول موج کوتاه ورودی بدست آمده از مدل SDDE و اندازه‌گیری زمینی

با میانگین‌گیری از نقشه‌های روزهای بدون ابر هر ماه، نقشه‌های متوسط نرخ روزانه تبخیر در آن ماه بدست آمد (شکل ۸). با توجه به عدم وجود تصاویر بدون ابر در ماههای نوامبر تا مارس (آبان تا اسفند) امکان برآورد تبخیر این ماهها وجود نداشت. البته با توجه به کاهش دمای هوا در طی ماههای سرد می‌توان انتظار داشت که نرخ تبخیر در این ماهها از سطح دریاچه در قیاس با ماههای گرم سال کم باشد. همانطور که در نقشه‌های ماهانه تبخیر مشخص شده است، نرخ تبخیر از سواحل به سمت نواحی داخلی دریاچه افزایش می‌یابد.

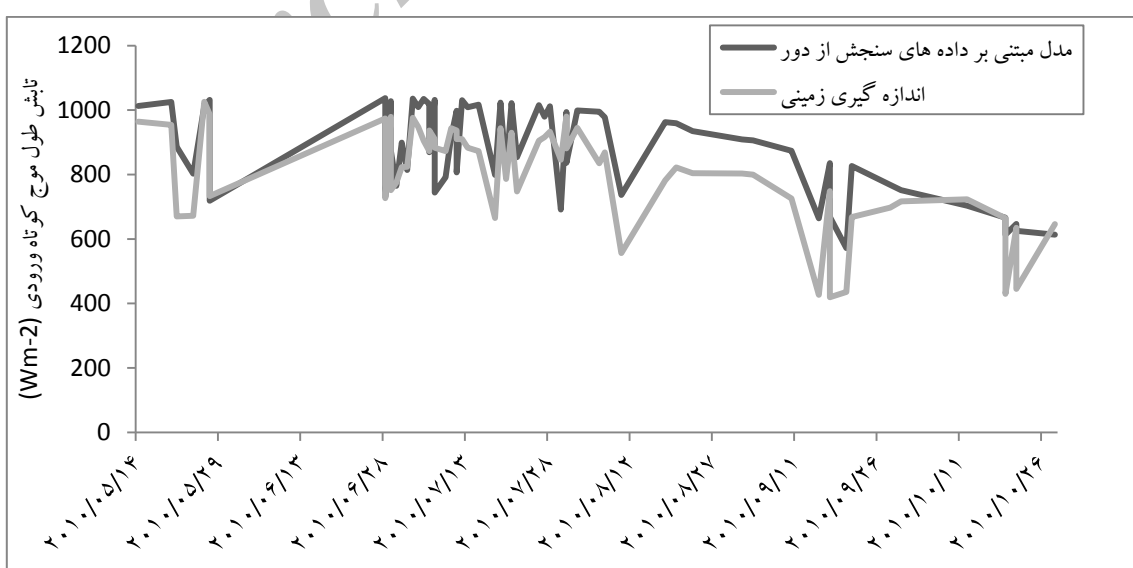
(جدول ۵). عمده‌ترین دلیل دقت پایین‌تر حاصل از این مطالعه در قیاس با سایر مطالعات موقعیت دستگاه تشушع‌سنج است که در محل ایستگاه تحقیقاتی سازمان هواشناسی و در یک محدوده با کاربری غیریکنواخت (در شاعع ۱ کیلومتری) نصب شده است. در حالی که در سایر مطالعات اندازه‌گیری‌ها در موقعیت‌های با کاربری یکنواخت صورت گرفته است. همانطور که پیش‌تر بیان شد، در این مطالعه به علت مسائل حفاظت و بهره‌برداری، امکان نصب دستگاه در موقعیت‌هایی با کاربری یکنواخت در مقیاس ۱ کیلومترمربع (نظیر دریاچه، مزرعه کشاورزی و...) وجود نداشت.

جدول ۴- مقادیر آماره‌های محاسبه شده داده‌های سنجش از دور و داده‌های زمینی تابش طول موج کوتاه ورودی (W/m²)

آماره	داده‌های ماهواره‌ای	داده‌های زمینی
حداقل	۴۱۹	۵۷۲
حداکثر	۱۰۲۶	۱۰۳۷
انحراف معیار	۱۵۵	۱۴۰

۲-۴- نقشه‌های تبخیر از سطح دریاچه

پس از استخراج لایه‌های مبنایی مورد استفاده در معادله بیلان انرژی، نقشه‌های تبخیر از سطح آب دریاچه برای روزهای بدون ابر در سال ۲۰۱۰ میلادی به دست آمد. تعییرات زمانی متوسط نرخ تبخیر روزانه از سطح دریاچه در شکل ۷ نشان داده شده است. بر این اساس نرخ تبخیر از ماه آوریل لغایت جولای (فروردین تا تیر) بین ۶ تا ۷ میلیمتر نوسان می‌کند و سپس از آگوست تا اکتبر (مرداد تا مهر) تغییراتی نداشته است.



شکل ۶- مقایسه تغییرات زمانی تابش طول موج کوتاه ورودی حاصل از مدل SDDE و اندازه‌گیری زمینی

جدول ۵- مقایسه خطاهای برآورد شار تابش طول موج کوتاه ورودی و خالص با استفاده از داده‌های سنجنده MODIS در این مطالعه با سایر مطالعات

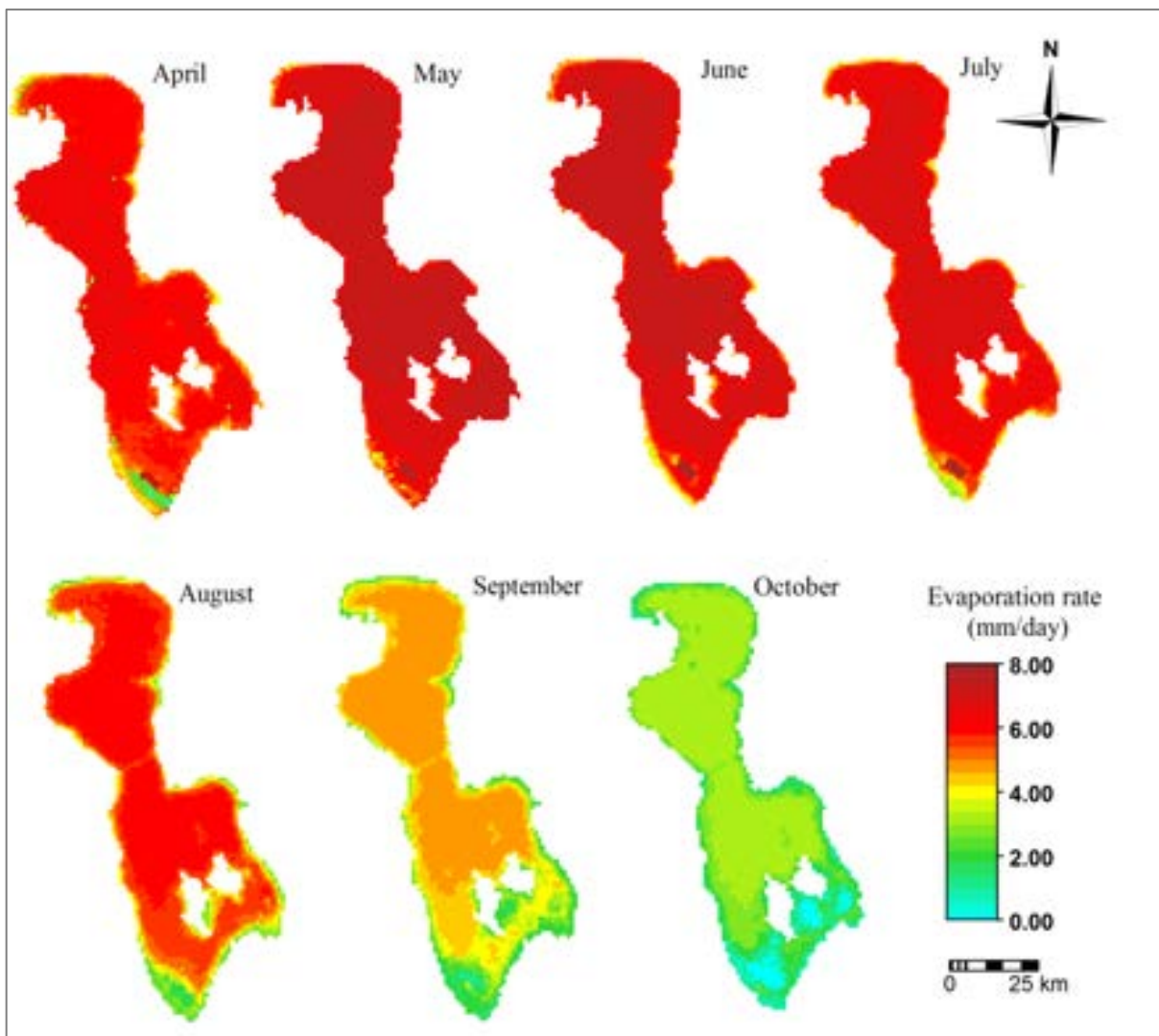
Bias (Wm ⁻²)	RMSE (Wm ⁻²)	R ²	شار انرژی تشعشعی	تعداد نقاط اندازه گیری همزمان	ماهواره	کاربری	منطقه	مورد مطالعه	مرجع
۱۷/۸۲	۴۲/۰۵	۰/۹۶	Q_S_{in}	۱۰۹۷	Terra/Aqua	کشاورزی	آمریکا، کانزاس	Bisht et al. (2010)	
۳۵/۲۲	۴۰/۷۸	۰/۹۶	Q_S_{net}						
۴۱	۵۱	۰/۹۷	Q_S_{in}	۱۸	Terra/Aqua	کشاورزی	آمریکا، کانزاس	Bisht et al. (2005)	
۴۱		۰/۹۸		۱۷	Terra		جنگل		
۶۵		۰/۹۴			Aqua				Ryu et al. (2008)
۲۴		۰/۹۸	Q_S_{in}	۲۶	Terra				
۱۹		۰/۹۷				کشاورزی			
-۵۵	۱۱۲	۰/۶۶	Q_S_{in}	۶۵	Terra/Aqua	غیر یکنواخت	ایران، ارومیه	مطالعه حاضر	
-۴۲/۶	۱۲۶	۰/۵۳	Q_S_{net}						

و در حدود ۶/۸ میلیمتر در روز می‌باشد. بیشترین و کمترین میزان تغییرات مکانی نرخ تبخیر از سطح دریاچه به ترتیب در ماههای می (اردیبهشت) و آگوست (مرداد) رخ می‌دهد. همچنین مجموع ارتفاع تبخیر طی ۷ ماه آوریل (فروردين) تا اکتبر (مهر) در سال ۲۰۱۰ معادل ۱۱۳۶ میلیمتر می‌باشد که در قیاس با برآوردهای قبلی نرخ تبخیر سالانه از سطح دریاچه (mm) ۸۹۴-۱۳۵۹، در حد بالای برآوردها قرار دارد. به لحاظ حجمی نیز، تلفات تبخیر دریاچه در سال ۲۰۱۰ معادل ۳۸۵۵ میلیون متر مکعب طی ۷ ماه برآورد می‌شود که بیش از نیاز آب زیست محیطی دریاچه (۳/۰۸ میلیارد متر مکعب در سال) (Abbaspour and Nazaridoust, 2007) می‌باشد.

محدوده تغییرات نرخ تبخیر از سطح دریاچه در حدود ۳ میلیمتر در روز است. این روند بر روند تغییرات خالص انرژی تابشی دریافتی توسط دریاچه منطبق است. سواحل، مناطق اطراف میانگذر و جزایر نرخ تبخیر کمتری در قیاس با مناطق داخلی دریاچه دارند. مقادیر آماره‌های حاصل از نقشه‌های متوسط ماهانه در جدول ۶ ارائه شده است. همچنین شکل ۹ تغییرات زمانی ارتفاع تبخیر از سطح دریاچه را طی هفت ماه از سال ۲۰۱۰ نشان می‌دهد. همانطورکه مشاهده می‌شود ارتفاع متوسط تبخیر از سطح دریاچه از ماه آوریل تا می‌رونده افزایشی کمی دارد و تا ماه جولای تقریباً ثابت می‌ماند. از ماه جولای (تیر) تا اکتبر (مهر) طی یک روند کاهشی، بیش از ۵۰ درصد نرخ تبخیر کاهش می‌یابد. حداقل نرخ تبخیر متوسط از سطح، در ماه می



شکل ۷- تغییرات نرخ تبخیر روزانه از سطح دریاچه ارومیه طی روزهای بدون ابر در سال ۲۰۱۰



شکل ۸- نقشه‌های متوسط ماهانه نرخ تبخیر از دریاچه ارومیه در سال ۲۰۱۰

جدول ۶- مقادیر آماره‌های حاصل از نقشه‌های ماهانه تبخیر از سطح دریاچه (mm/day)

سال	آماره	حداقل	حداکثر	میانگین	انحراف معیار	
اکتبر	آگوست	جولای	ژوئن	می	اوریل	سپتامبر
۰/۶۹	۱/۲۶	۲/۸۳	۳/۵۱	۳/۱۱	۰	۴/۹۱
۴/۹۱	۶/۰۹	۹/۲۵	۹/۸۲	۸/۴۳	۷/۳۱	۳/۳۲
۴/۷۶	۴/۹۷	۶/۱۹	۶/۵۴	۶/۵۸	۵/۲۳	۲/۱۴
۱	۱/۰۹	۰/۷۵	۰/۷۳	۰/۷	۱/۰۹	۰/۸۱

بنابراین حتی در صورت تأمین نیاز آب زیست محیطی دریاچه روند کاهشی تراز آب دریاچه ادامه خواهد یافت. نسبت به متغیرهای چگالی، ساعت آفتابی، دمای سطح آب و دمای هوا دارد. همچنین مدل توزیعی برآورد تبخیر نسبت به متغیرهای ضریب فعالیت آب، فشار هوا و آب قابل بارش از حساسیت کمی برخوردار است. از بین پارامترهای مذکور، ساعت آفتابی و دمای هوا در ایستگاه‌های سینوپتیک مجاور دریاچه به صورت پیوسته اندازه‌گیری می‌شوند. اما اندازه‌گیری دما و چگالی آب دریاچه به صورت پیوسته صورت نمی‌گیرد. بنابراین برای بهبود دقت برآورد نرخ

۳-۴- نتایج تحلیل حساسیت مدل

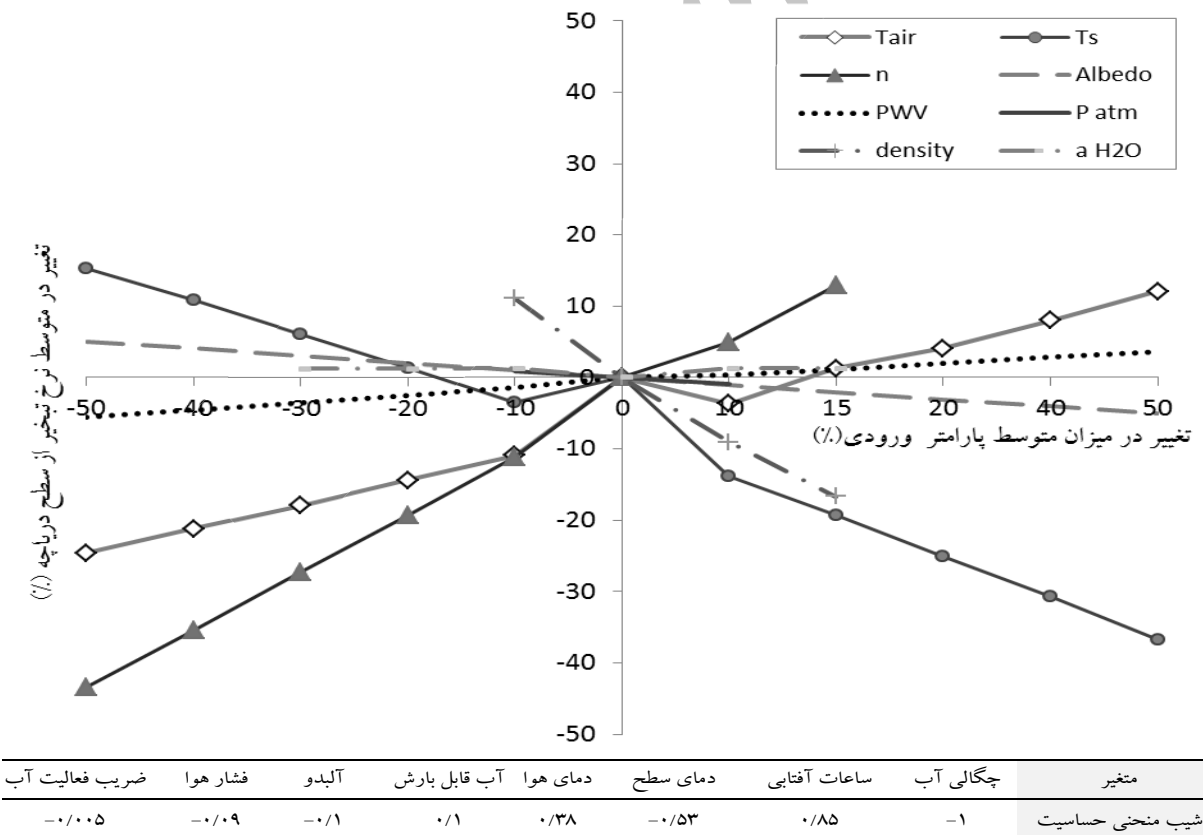
نتایج تحلیل حساسیت مدل در شکل ۱۰ نشان داده شده است. بر اساس شیب منحنی حساسیت، مدل بیشترین حساسیت را به ترتیب

دریاچه با استفاده از داده‌های ایستگاه‌های هواشناسی مجاور دریاچه، لازم است اندازه‌گیری این متغیرهای هواشناسی حداقل در چند نقطه روی دریاچه صورت گیرد.

تبخیر از سطح، نیاز به اندازه‌گیری دما و چگالی آب دریاچه (حداقل در دوره‌های زمانی ماهانه) می‌باشد. همچنین به منظور کاهش عدم قطعیت ناشی از ایجاد نقشه‌های ساعت‌آفتابی و دمای هوای روی



شکل ۹- تغییرات ماهانه ارتفاع تبخیر از سطح دریاچه ارومیه در سال ۲۰۱۰



شکل ۱۰- نمودار تحلیل حساسیت متغیرهای پایه مدل SDDE

۵- جمع‌بندی و نتیجه‌گیری

در این مطالعه، مدل‌سازی تبخیر از سطح دریاچه ارومیه با لحاظ کردن شوری و تغییرات مکانی متغیرهای هواشناسی مدنظر قرار گرفت. نرخ تبخیر روزانه از سطح دریاچه در قالب توسعه مدل توزیعی SDDE با استفاده از روش بیلان انرژی و بهره‌گیری تؤام از داده‌های سنجش از دور و اندازه‌گیری‌های زمینی برآورد شد. پس از اعتبارسنجی نتایج، تغییرات زمانی - مکانی نرخ تبخیر دریاچه ارومیه مورد بحث قرار گرفت. بر اساس نتایج حاصل مجموع ارتفاع و حجم تبخیر طی ۷ ماه آوریل (فروردین) تا اکتبر (مهر) در سال ۲۰۱۰ به ترتیب معادل ۱۱۳۶ میلیمتر و $\frac{3}{8}$ میلیارد مترمکعب می‌باشد. عدم امکان برآورد صحیح تبخیر طی ماههای ابری از محدودیت‌های این مطالعه می‌باشد. با این وجود به علت آنکه عمدت تبخیر در ماههای گرم سال رخ می‌دهد، این برآورد می‌تواند تخمین مناسی از نرخ تبخیر سالانه دریاچه باشد. استفاده از نتایج حاصل از این مطالعه می‌تواند با بهبود دقت برآورد نرخ تبخیر، منجر به کاهش خطای برآورد بیلان هیدرولوژیکی دریاچه شده و به تصمیم‌گیران در برنامه‌ریزی بهتر منابع آب حوضه آبریز و احیای دریاچه کمک شایان توجهی بنماید.

پی‌نوشت‌ها

- 1-Salinity Dependant Daily Evaporation
- 2-Geographical Information System
- 3-Evaporation pans
- 4-Dead sea
- 5-Bowen Ratio Energy Balance
- 6-Black-sky albedo
- 7-White-sky albedo
- 8-Solar angle
- 9-Solar declination
- 10-Cloud Mask
- 11-Normalized Difference Vegetation Index
- 12-Precipitable Water Vapor
- 13-One-factor-at-a-time

۶- مراجع

باقری هارونی م ح (۱۳۹۰) ارزیابی فن آوری سنجش از دور در برآورد مؤلفه‌های بیلان آب در مقیاس حوضه‌ای، با تأکید بر میزان برداشت خالص آب زیرزمینی (مطالعه موردی حوضه آبریز دریاچه ارومیه). پایان نامه کارشناسی ارشد، گروه مهندسی آب، دانشگاه تربیت مدرس.

جهانبانی س (۱۳۹۱) مقایسه روش‌های برآورد تبخیر از سطح دریاچه‌های شور با استفاده از معادله بیلان انرژی (مطالعه

- Neev D, Emery KO (1967) Depositional processes and environments of evaporites (Bulletin (Makhon ha-geologi (Israel)))): Monson Press.
- Neumann J (1958) Tentative energy and water balances for the Dead Sea. Bulletin of the Research Council of Israel 7G: 137– 163.
- Orlob G (1981) Models for stratified impoundments. In: Biswas, A. (Ed.), Models for water quality management. McGraw Hill, USA:273–313.
- Pitzer KS (1979) Theory, ion interaction approach. Activity Coefficients in Electrolyte Solutions CRC Press, Boca Raton, FL, USA Pytkow-Icz RM, 1:157-208.
- Prata AJ (1996) A new long-wave formula for estimating downward clear-sky radiation at the surface. Quarterly Journal of the Royal Meteorological Society 122:1127–1151.
- Rosenberry DO, Winter TC, Buso DC, Likens GE (2007) Comparison of 15 evaporation methods applied to a small mountain lake in the northeastern USA. Journal of Hydrology 340(3–4): 149–166.
- Salameh E, WI-Naser H (1999) Does the actual drop in Dead Sea level reflect the development of water sources within its drainage basin? Acta Hydrochimica et Hydrobiologica 27(1): 5–11.
- Sandler SI (1999) Chemical and engineering thermodynamics (Wiley series in Chemical Engineering): Wiley.
- Sellers WD (1965) Physical climatology. Quarterly Journal of the Royal Meteorological Society, 92(394): 588–588.
- Sima S, Ahmadalipour A, Tajrishy M (2013) Mapping surface temperature in a hyper-saline lake and investigating the effect of temperature distribution on the lake evaporation. Remote Sensing of Environment 136(0):374–385.
- Sima S, Tajrishy M (2013) Using satellite data to extract volume-area-elevation relationships for Urmia Lake, Iran. Journal of Great Lakes Research 39(1):90–99.
- Sima S, and Tajrishy M (In Progress) Application of spatial interpolation methods to develop water quality maps of Urmia Salt Lake, Iran. Submitted to Journal of Scientia Iranica for possible publication.
- Stanhill G (1994) Changes in the rate of evaporation from the Dead Sea. International Journal of Climatology 14(4):465–471.
- Stauffer R (1991) Testing lake energy budget models under varying atmospheric stability conditions. Journal of Hydrology 128:115–135.
- Calder IR, Neal C (1984) Evaporation from saline lakes: a combination equation approach. Hydrological Sciences Journal 29(1):89–97.
- Dvorkin Y, Lensky N, Lyahovsky V, Gertman I, and Gavrieli I (2006) The necessity of salt precipitation for the Dead Sea modeling. Paper presented at the American Geophysical Union, Fall Meeting, San Francisco, California, USA.
- Eimanifar A, Mohebbi F (2007) Urmia Lake (Northwest Iran): a brief review. Saline Systems 3(5).
- Gianniou SK, Antonopoulos VZ (2007) Evaporation and energy budget in Lake Vegoritis, Greece. Journal of Hydrology 345(3–4): 212–223.
- Harbeck JGE (1955) Studies of evaporation: the effect of salinity on evaporation. U.S. Geological Survey Professional Paper 272-A: 1– 6.
- Heidari N, Roudgar M, Ebrahimpour N (2010) Thermodynamic quantities and Urmia Sea water evaporation. Saline Systems 6, 3.
- Kokya BA, Kokya TA (2008) Proposing a formula for evaporation measurement from salt water resources. Hydrological Processes 22(12): 2005–2012.
- Lee CH (1927) Discussion of evaporation on reclamation projects. American Society of Civil Engineers Transactions, 90:340–343.
- Lensky NG, Dvorkin Y, Lyakhovsky V, Gertman I, and Gavrieli I (2005) Water, salt, and energy balances of the Dead Sea. Water Resources Research 41(12), W12418.
- Lenters JD, Kratz TK, Bowser CJ (2005) Effects of climate variability on lake evaporation: Results from a long-term energy budget study of Sparkling Lake, Northern Wisconsin (USA). Journal of Hydrology 308(1–4): 168–195.
- Long D, Gao Y, Singh VP (2010) Estimation of daily average net radiation from MODIS data and DEM over the Baiyangdian watershed in North China for clear sky days. Journal of Hydrology 388(3–4): 217–233.
- Murrihy E, Miltenburg I (2010). Assessment of evaporation losses from the Menindee Lakes using SEBAL remote sensing technology. Australia Water Watch.
- Murphy JM, Sexton DMH, Barnett DN, Jones GS, Webb MJ, Collins M (2004) Quantification of modelling uncertainties in a large ensemble of climate change simulations. Nature 430(7001):768–772.

- Yekom Conculting Engineers (2002) Management plan for the Lake Uromiyeh Ecosystem. In M. Moser (Ed.), EC-IIP Environmental Management Project for Lake Uromiyeh. Iran.
- Young AA (1947) Some recent evaporation investigations. *Transactions American Geophysical Union* 28(2): 279-284.
- Yu S, Liu J, Xu J, Wang H (2011) Evaporation and energy balance estimates over a large inland lake in the Tibet-Himalaya. *Environmental Earth Sciences* 64(4): 1169-1176.
- Zeinoddini M, Tofighi MA, Vafaei F (2009) Evaluation of dike-type causeway impacts on the flow and salinity regimes in Urmia Lake, Iran. *Journal of Great Lakes Research* 35(1): 13-22.
- Steinhorn I (1997) Evaporation estimate for the Dead Sea: essential considerations for saline lakes. In *The Dead Sea the lake and its setting* (pp. 11). New York: Oxford University Press.
- UNEP & GEAS (2012) The drying of Iran's Lake Urmia and its environmental consequences. *Environmental Development* 2:128-137.
- Winter TC (1981) Uncertainties in estimating the water balance of lakes. *Water Resources Bulletin* 17(1): 82-115.
- Winter TC, Buso DC, Rosenberry DO, Likens GE, Sturrock AMJ, Mau DP (2003) Evaporation determined by the energy budget method for Mirror Lake, New Hampshire. *Limnology and Oceanography* 48 (3): 995-1009.